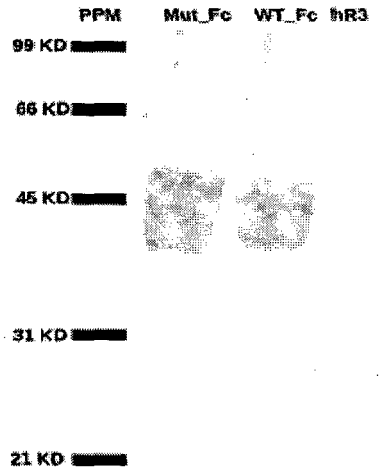
Figura. 1

Western Blotting Anti-TGFB1

SDS-Page en condiciones reductoras (gel 10%)



SDS-Page en condiciones no reductoras (gel 7,5%)

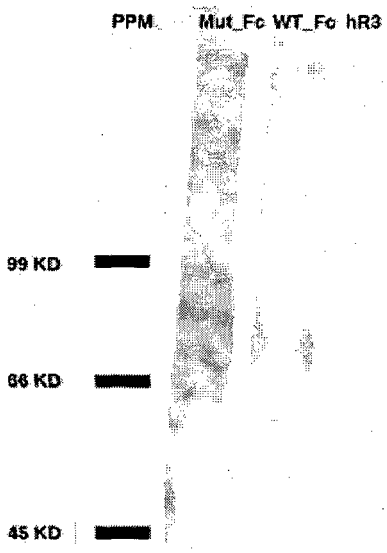


Figura 2

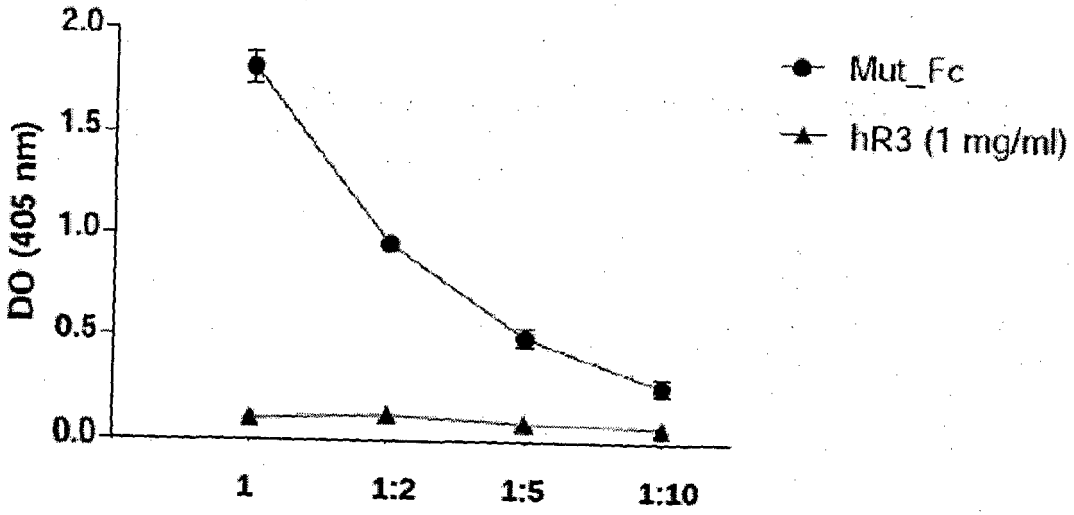


Figura 3

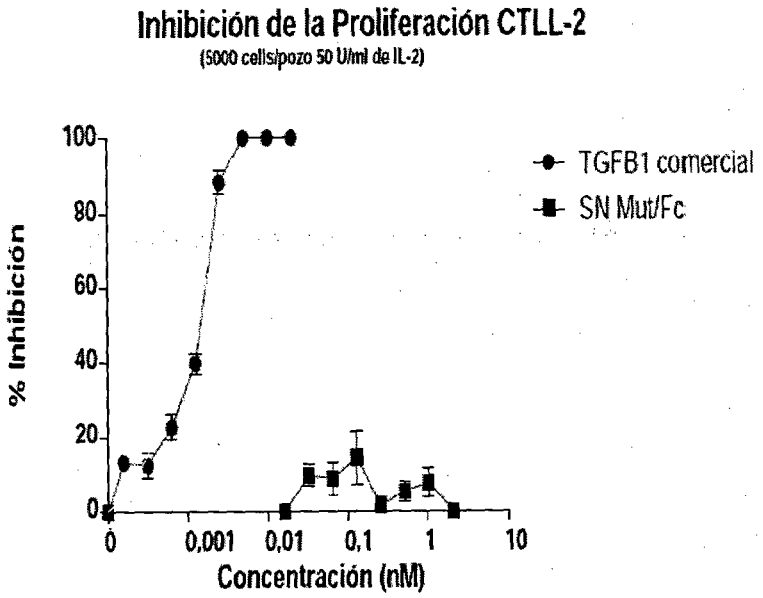

Inhibición de la Proliferación CTLL-2
(5000 cells/pozo 50 U/ml de IL-2)
% Inhibición
100
80
60
40
20
0
0
0,001
0,01
0,1
1
10
Concentración (nM)
TGFB1 comercial
SN Mut/Fc

Figura 4

Neutralización de la inhibición de la proliferación de las CTLL-2 inducido por el TGFB1 comercial
($2*10^{-3}$ nM)

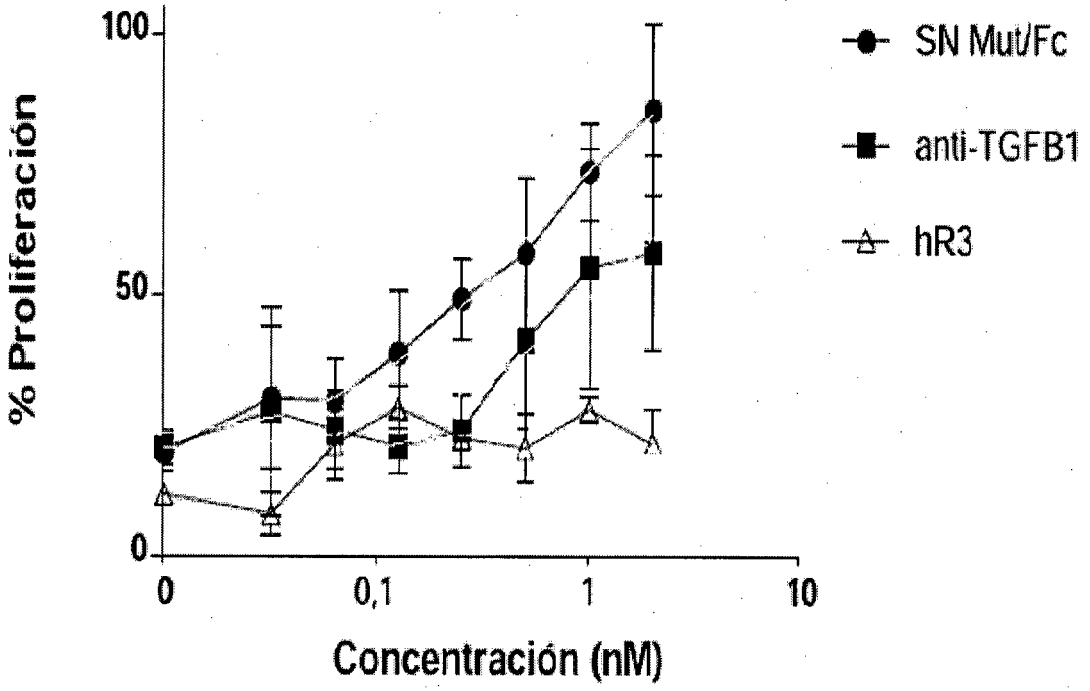


Figura 5

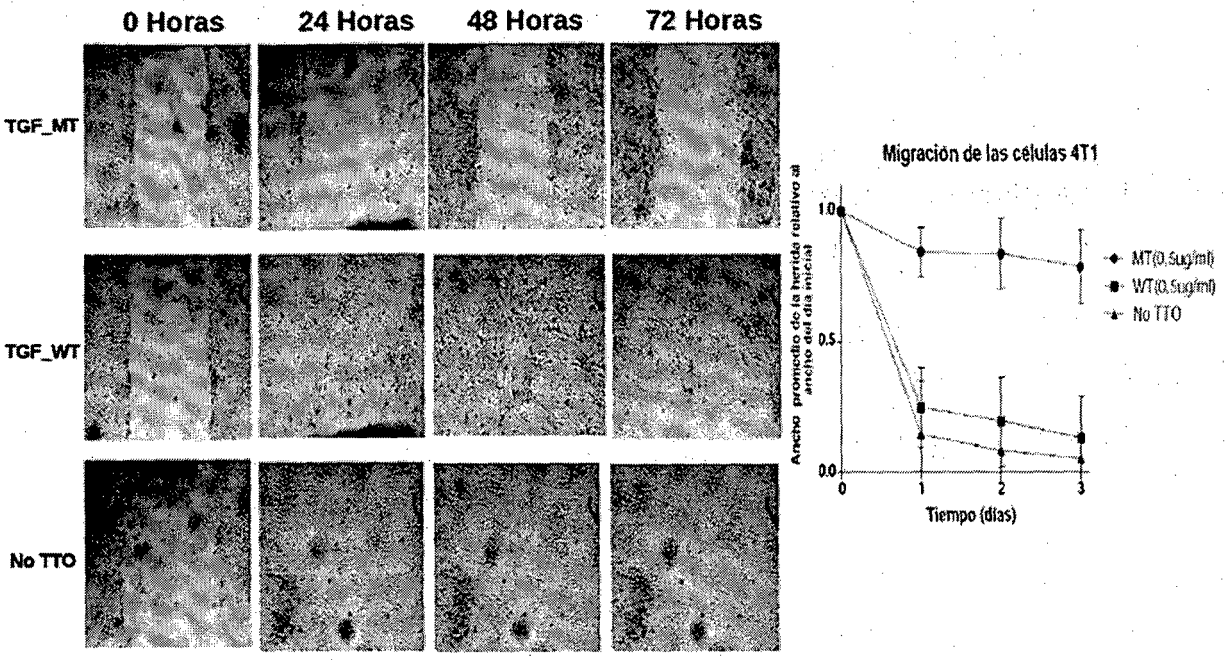
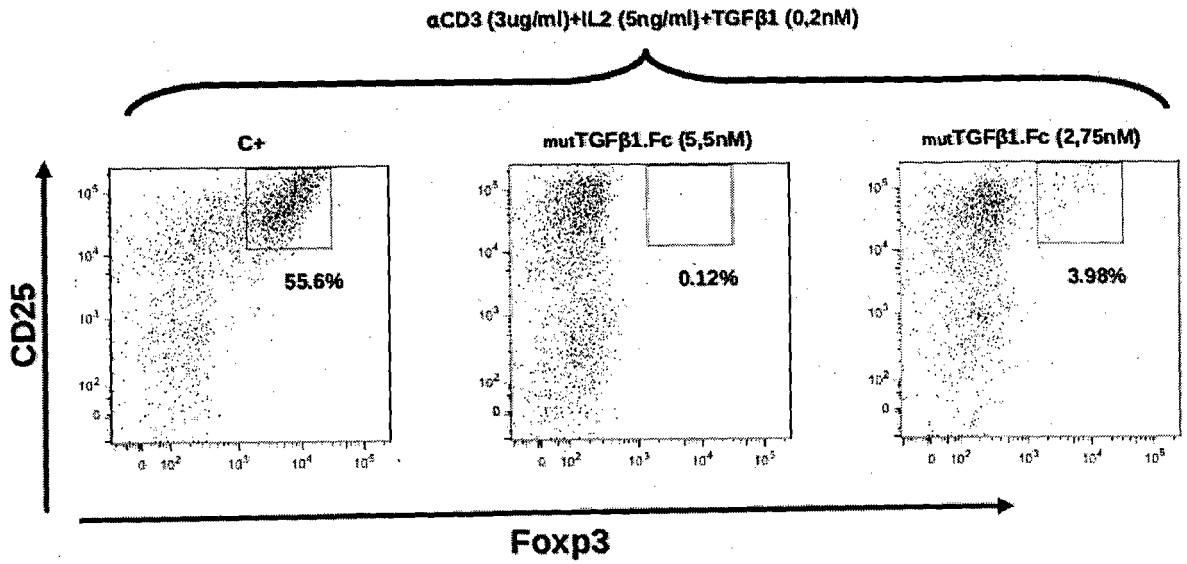

0 Horas
24 Horas
48 Horas
72 Horas
TGF_MT
TGF_WT
No TTO
Migración de las células 4T1
Ancho promedio de la herida relativo al ancho del día inicial
1.0
0.5
0.0
0
1
2
3
Tiempo (días)
MT(0.5ug/ml)
WT(0.5ug/ml)
No TTO

Figura 6


αCD3 (3ug/ml)+IL2 (5ng/ml)+TGFβ1 (0,2nM)
C+
mutTGFβ1.Fc (5,5nM)
mutTGFβ1.Fc (2,75nM)
55.6%
0.12%
3.98%
CD25
Foxp3